# Взаимодействие волн и частиц при особых условиях



#### Беспалов П.А.<sup>1</sup>, Савина О.Н.<sup>2</sup>

 $^1$ ИПФ РАН, г. Нижний Новгород, Россия, peter@ipfran.ru  $^2$ НИУ ВШЭ, г. Нижний Новгород, Россия



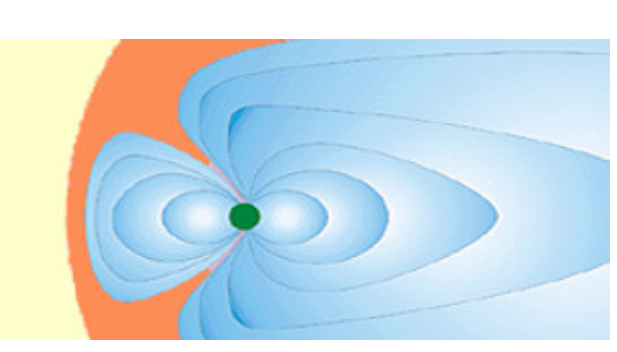
#### Содержание

#### Введение

- ОНЧ хоровые излучения в дневной магнитосфере
- Особые условия взаимодействия волн и частиц
- Формирование облака активных электронов
- Расчет эффективности взаимодействия волн и частиц в квазигидродинамическом приближении
- Усиление короткого электромагнитного импульса
- Формирование дискретных электромагнитных излучений
- Импульсные излучения коричневого карлика TVLN 513-46546
- Extreme nanoshots в радиоимпульсах пульсара в Крабе

#### Заключение

Семнадцатая ежегодная конференция Физика плазмы в солнечной системе 7–11 февраля 2022, ИКИ РАН



#### Введение

В космической плазме наблюдаются электромагнитные излучения с дискретной структурой динамического спектра и очень высокой яркостной температурой. Это, например, хоровые электромагнитные излучения в дневной магнитосфере Земли на частотах 1-5 кГц, импульсные излучения коричневого карлика TVLN 513-46546 на частотах 5-8 ГГц, гигантские всплески (extreme nanoshots) в главных радиоимпульсах пульсара в Крабе на частотах 0.4-5 ГГц, Для объяснения условий возбуждения указанных излучений необходимо принимать во внимание реальные свойства среды и дисперсионные особенности волновых возмущений. Условия возбуждения этих излучений можно во многом объяснить с единых позиций в рамках BPA (Beam-Pulse-Amplifier) механизма усиления коротких электромагнитных импульсов с предельно высоким темпом, характерным для неустойчивости гидродинамического типа. Этот механизм обеспечивает формирование интенсивных быстро меняющихся излучений с дискретной структурой динамического спектра в плазме без существенной анизотропии функции распределения энергичных частиц. Теоретический анализ и численные расчеты показали возможность реализации особых условий взаимодействия на резонансе Черенкова для облака активных частиц, которые движутся вместе с коротким импульсом через область взаимодействия волн и частиц. В результате слабые шумовые импульсы с подходящей несущей частотой, поляризацией и углом волновой нормали могут резко усиливаться и трансформироваться в дискретные электромагнитные излучения в плазменных оболочках намагниченных коричневых карликов, нейтронных звезд и планет.

## ОНЧ хоровые излучения в дневной магнитосфере

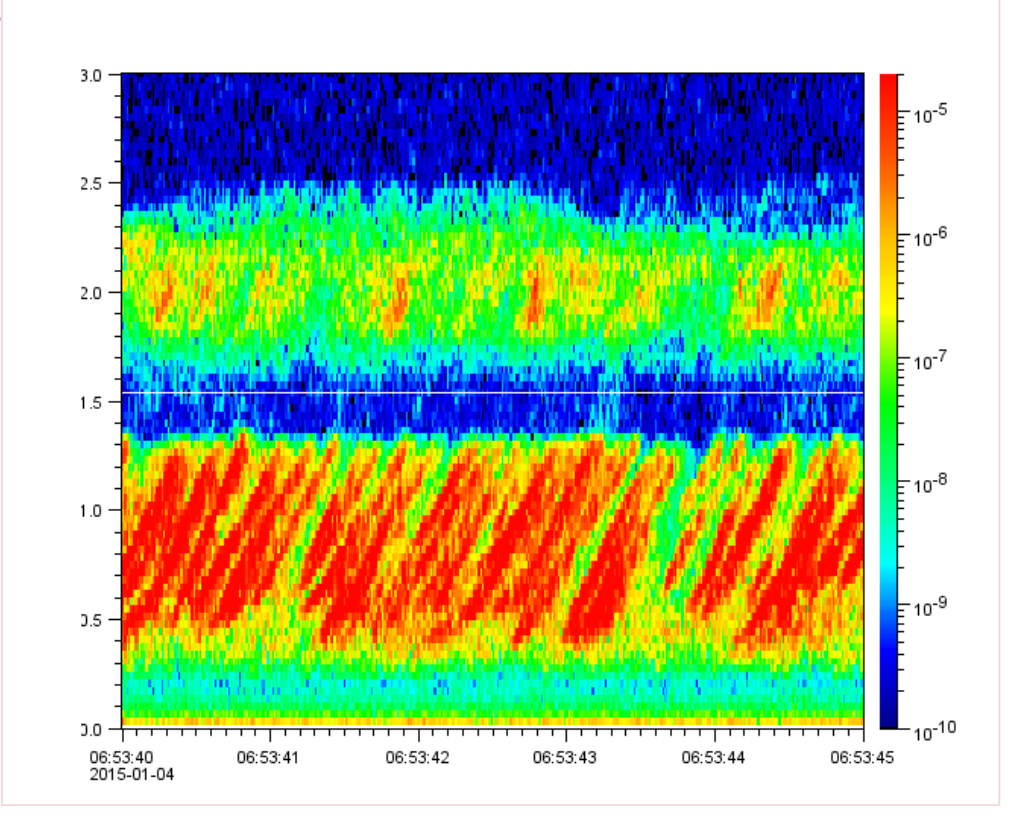
За последние шестьдесят лет опубликованы сотни научных работ, обзоров и книг, посвященных генерации

магнитосферных ОНЧ электромагнитных хоровых излучений.

• Для объяснения наблюдаемых спектральных форм обычно обсуждаются различные варианты циклотронной генерации в предположении наличия высокой анизотропии электронного распределения.

• Однако согласно *THEMIS* экспериментальным данным (C. Zhou, R.M. Thorne et. al, 2015) в дневной магнитосфере возбуждение хоров происходит в областях с маргинально устойчивой функцией распределения энергичных электронов и контролируется длиной области однородной плазмы вблизи локального минимума магнитного поля.

В докладе обсуждаются предложенный авторами *ВРА* механизм возбуждения хоров в дневной магнитосфере.



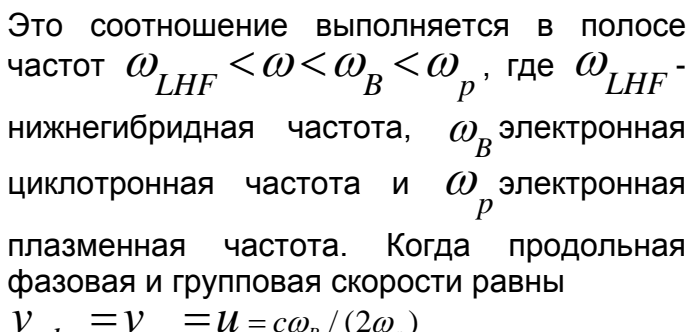
## Особые условия взаимодействия волн и частиц

Если короткий электромагнитный импульс падает на однородный слой намагниченной плазмы вблизи локального минимума магнитного поля, то он будет расплываться из-за дисперсии и, если фазовая скорость отличается от групповой скорости, то линии постоянной фазы перемещаются относительно импульса,

Дисперсионное соотношение для свистовых волн

$$\omega = \frac{\omega_B |k_z| (k_z^2 + k_x^2)^{1/2}}{k_z^2 + k_x^2 + \omega_p^2 / c^2}$$

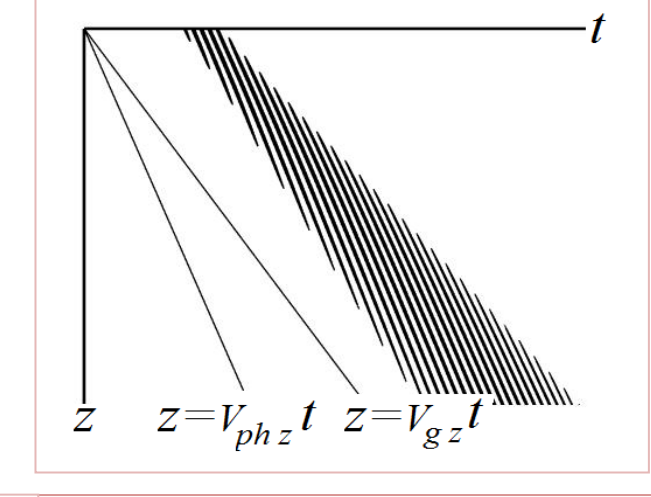
 $k_{z}$  и  $k_{x}$  компоненты волнового вектора вдоль и поперек магнитного поля:

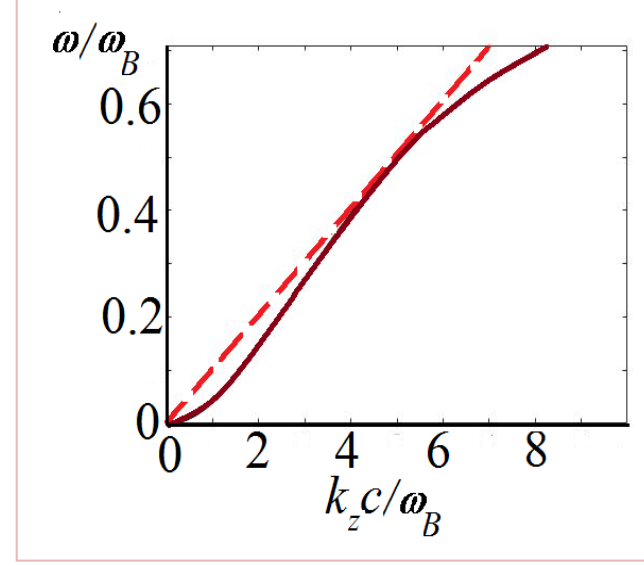


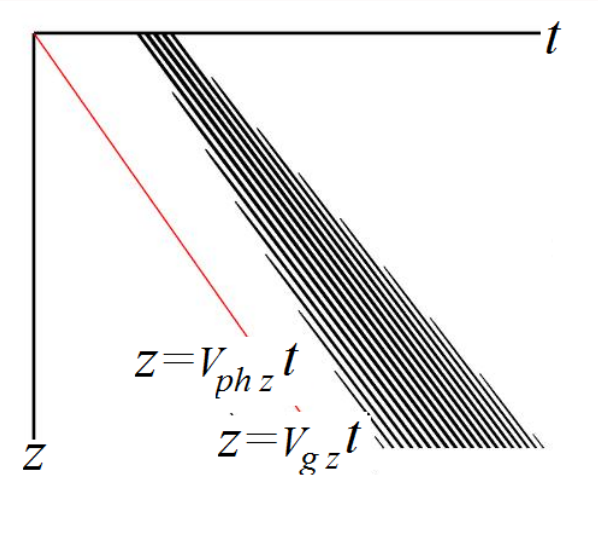
$$v_{phz} = v_{gz} = u = c\omega_B / (2\omega_p)$$

линии постоянной фазы "захвачены" внутри импульса и в соответствующем диапазоне частот его волновое поле можно записать в виде

$$\vec{E}_{\sim} = \vec{E}_{\sim}(z - ut), \ \vec{B}_{\sim} = \vec{B}_{\sim}(z - ut)$$
$$E_{\sim z} \neq 0$$







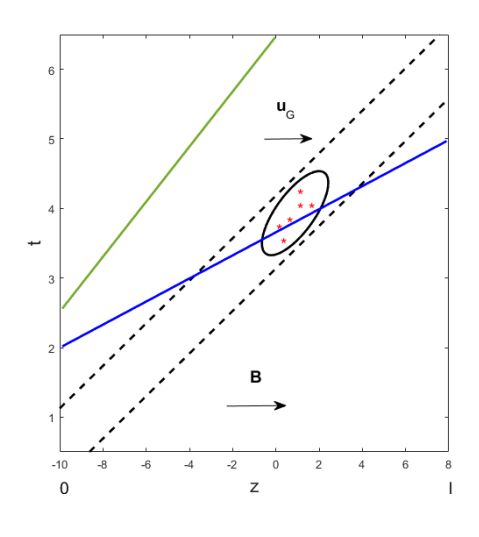
### Формирование облака активных электронов

C эффективно коротким импульсом МОГУТ взаимодействовать на черенковском резонансе надтепловые электроны, которые движутся со скоростью  $\it u$ область вдоль магнитного влетели поля взаимодействия вместе с ним. Для других частиц взаимодействие настолько кратковременно, что они не успевают обменяться энергией. Поэтому, при реализации **BPA** короткий механизма достаточно импульс взаимодействует с "моноскоростным" облаком активных электронов с разбросом продольных скоростей

$$\Delta V_z \simeq u^2 t_p / l \ll u$$

 $t_p\,$  - длительность импульса

Иллюстрация формирования облака «активных» надтепловых электронов



# Расчет эффективности взаимодействия волн и частиц в квазигидродинамическом приближении

Линеаризованные уравнениями квазигидродинамики

$$\begin{split} &\frac{\partial n_{b^{-}}}{\partial t} + u \frac{\partial n_{b^{-}}}{\partial z} + n_{b} div(\vec{V}_{-}) = 0, \\ &\frac{\partial \vec{V}_{-}}{\partial t} + u \frac{\partial \vec{V}_{-}}{\partial z} + \frac{e}{mc} \left( \vec{V}_{-} \times \vec{B} \right) = -\frac{e}{m} \vec{E}_{-} - \frac{eu}{mcB} \left( \vec{B} \times \vec{B}_{-} \right) \end{split}$$

позволяют определить резонансную плотность тока

$$j_{rz} = i \frac{n_b e^2 \omega}{m(\omega - k_z u)^2} E_{z}$$

Из уравнений Максвелла следует обычное уравнение для спектральных компонент электромагнитного импульса

$$\vec{k}(\vec{k}\vec{E}) - k^2 \vec{E} + \frac{\omega^2}{c^2} \hat{\varepsilon} \vec{E} = 0$$

Отсюда следует дисперсионное уравнение

$$(\omega - \omega(k_z, \theta))(\omega - |k_z|u)^2 = \frac{n_b \omega_B^3}{32n_p} \sin^2 \theta |\cos \theta|^3$$

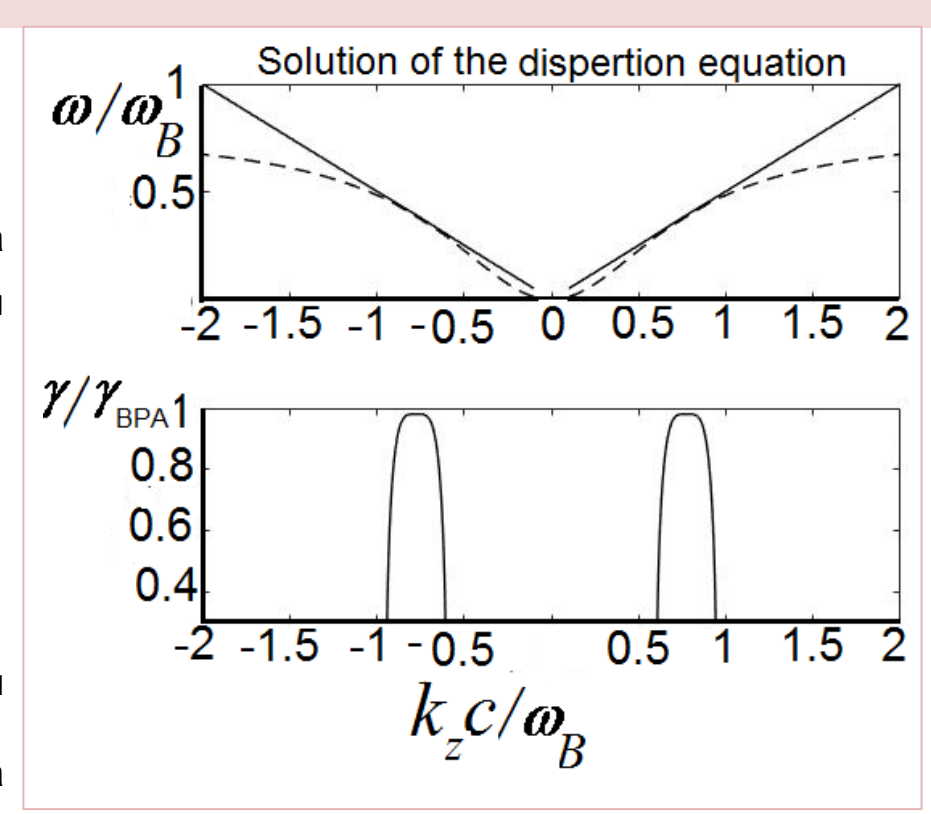
Хорошо известно, что имеется два режима взаимодействия волн и частиц (см., например, Л.А. Арцимович, Р.З. Сагдеев, 1979) на резонансе Черенкова. В первом режиме, при выводе формулы для инкремента сильно размытых пучков в приближении Ландау пренебрегается конечной шириной резонанса волна-частица и предполагается, что тепловой разброс пучка существенно больше ширины резонанса. Тогда для каждой неустойчивой волны на функции распределения пучка выделяется небольшая группа резонансных частиц, вклад которых в инкремент определяется наклоном функции распределения. Во втором режиме, когда  $\Delta v_z < \gamma \, / \, k_z$  весь пучок как целое находится в резонансе с неустойчивой волной. Именно в этом случае возможно развитие сильной пучковой неустойчивости.

## Усиление короткого электромагнитного импульса

С точностью до множителя порядка единицы инкремент роста волнового возмущения в такой системе определяется выражением

$$\gamma \approx \left(\frac{n_b}{n_p}\right)^{1/3} \omega_0$$

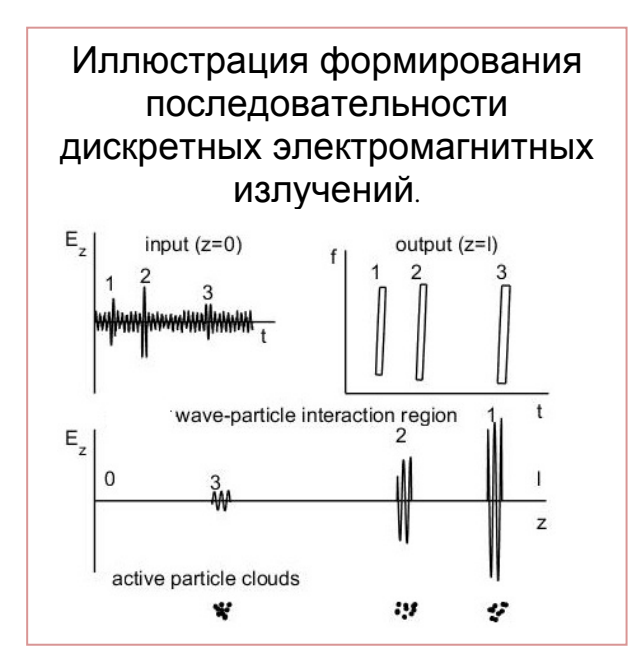
 $n_b$  и  $n_p$ - концентрация облака активных электронов и фоновой плазмы соответственно,  $\omega_{\!\scriptscriptstyle \odot}$  - характерная частота волны.

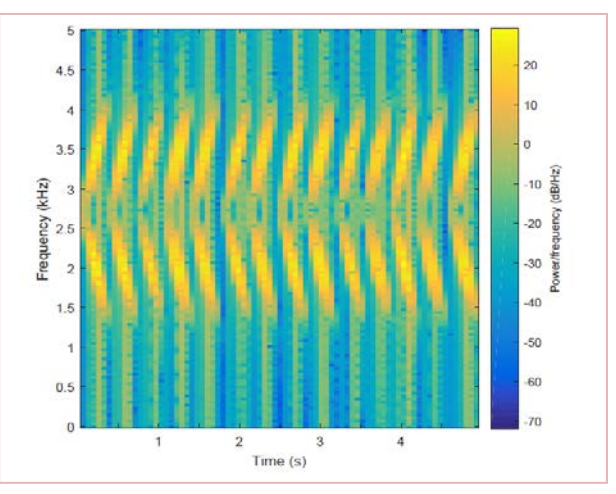


### Формирование дискретных электромагнитных излучений

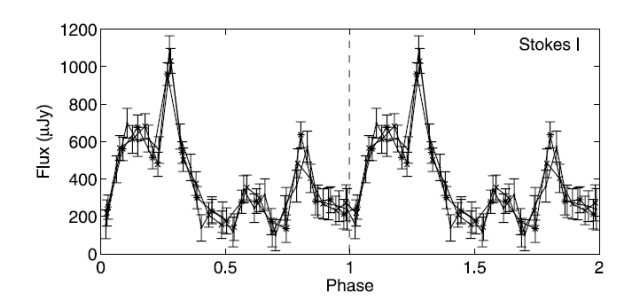
Слабые шумовые импульсы с подходящей поляризацией, диапазоном частот и углом волновой нормали на входе в области возбуждения усиливаются и превращаются в последовательность дискретных элементов хоровых электромагнитных излучений.

Пример спектрограммы на выходе области усиления, полученный в результате численного расчета.





### Импульсные излучения коричневого карлика TVLN 513-46546



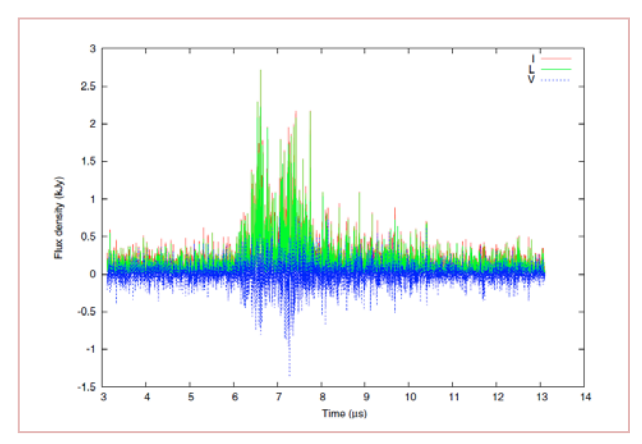
Согласно наблюдениям VLA с периодом 1.96 часа регистрируются чрезвычайно яркие 100% циркулярно поляризованные всплески когерентных радиоизлучений холодного коричневого карлика. Фотометрические измерения показали, что период отвечает вращению объекта. Результаты наблюдений практически идентичны на частотах 2-8 ГГц. Яркостная температура излучений до 10<sup>13</sup> K,

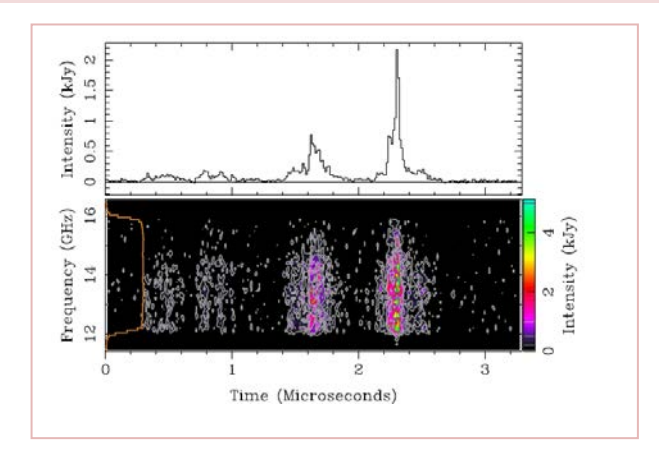
Hallinan, G., Antonova, A., Doyle, J.G., Bourke, S., Brisken, W.F. & Golden, A.. Rotational modulation of the radio emission from the M9 DWARF TVLM 513 □ 46546: broad band coherent emission at the substellar boundary? *The Astrophysical Journal*, v. 653, p. 690- 699, 2006.

Условия: 
$$\omega_B \simeq 2 \cdot 10^{10} \ c^{-1}$$
,  $\omega_B \ / \ \omega_p \simeq 10$ ,  $t_p \simeq 3 \cdot 10^{-3} \ c$ ,  $\gamma_{LF} > 1$ 

Bespalov, P.A. & Savina, O.N. An excitation mechanism of electromagnetic pulses by relativistic electrons in the brown dwarfs rarefied magnetosphere. *Monthly Notices of the Royal Astronomical Society*, 2018, v. 480, Issue 4, p. 4761-4765.

## Extreme nanoshots в гигантских радиоимпульсах пульсара в Крабе





Пример GP на частоте 8.4 ГГц показан с разрешение по времен 0.8 нс. Принимали на VLA, Arecibo, Green Bank, Goldstone. Красный цвет отвечает полной интенсивности . Поток энергии отвечает яркостной температуре  $10^{35} - 10^{37}$  К. Наблюдаются в широком диапазоне частот 0.4-5 ГГц (с несколько отличными свойствами от 23 МГц до 15.1 ГГц), период повторения  $3.3 \cdot 10^{-2}$  с.

Hankins, T.H. & Eilek, J.A. Radio emission signatures in the Crab pulsar. *The Astrophysical Journal*, 2007, v. 670, issue 1, p. 693–701.

Условия: электро-позитронная плазмы  $B \simeq 10^6$   $_{\text{C}}$ ,  $t_p \simeq 10^{-9} \, c$ ,  $\gamma_{LF} \ge 10^2$ .

Bespalov, P.A. & Savina O.N. Excitation of the main giant pulses from the Crab pulsar. *Monthly notices of the Royal Astronomical Society*, 2020, v. 498, p. 2864-2870.

#### Заключение

Проведено исследование особенностей возбуждения хоровых излучений в дневной магнитосфере посредством *BPA* механизма. Результаты расчетов позволяют объяснить многие свойства хоровых излучений:

- Локализацию области возбуждения.
- Полосу частот электромагнитных излучений.
- Направление волнового вектора и групповой скорости.
- Энергетику частиц и волн.

Рассмотренный механизм излучения полезен для объяснения условий возбуждения электромагнитных излучений с дискретной структурой динамического спектра и очень высокой яркостной температурой от космических источников.

Работа выполнена при поддержке РНФ, проект № 20-12-00268.

#### Литература

Bespalov, Peter & Savina, Olga. An excitation mechanism for discrete chorus elements in the magnetosphere. *Annales Geophysicae*, 2018, v. 36, Issue 5, 1201-1206. DOI: 10.5194/angeo-36-1201-2018

Bespalov, P.A. & Savina, O.N. On the linear theory of oblique magnetospheric chorus excitation. J. of Atmospheric and Solar-Terrestrial Physics, 2019a, v. 185, 58-67. DOI: 10.1016/j.jastp.2019.01.016.

Bespalov Peter A. & Savina Olga N. Excitation of chorus with small wave normal angles due to beam pulse amplifier (BPA) mechanism in density ducts. *Annales Geophysicae*, 2019b, v. 37, 819–824. DOI: 10.5194/angeo-37-819-2019.

Bespalov, P.A., Savina, O.N. & Cowley S.W.H. The beam pulse amplifier in space and laboratory plasmas. *Results in Physics*, 2020, v. 16, 103004. DOI: 10.1016/j.rinp.2020.103004.

Bespalov, P.A. & Savina O.N. Electromagnetic pulse amplification in a magnetized nearly stable plasma layer. *Results in Physics*, 2021, v. 28, 104607.

Bespalov, P.A. & Savilov A.V. Amplification of a slipping quasi-monochromatic wave pulse by an electron flow with a wide velocity spread. *Physics of Plasmas*, 2021, v. 28, 093303.

Беспалов, П.А., Савина, О.Н. & Жаравина П.Д. Особенности возбуждения хоров посредством *ВРА* механизма в магнитосферных волноводах уплотнения и разрежения с рефракционным отражением. *Космические Исследования*, 2022, т. 60, № 1, с. 17–25.